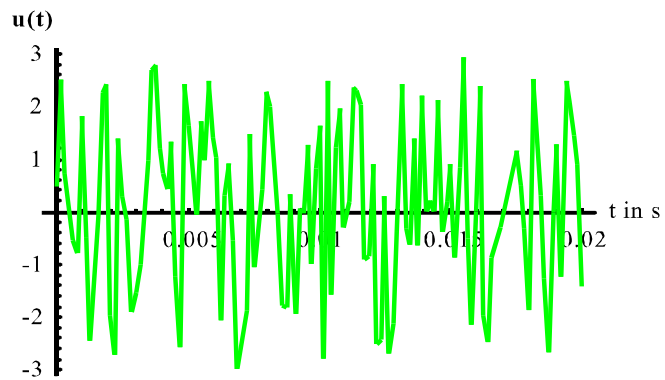


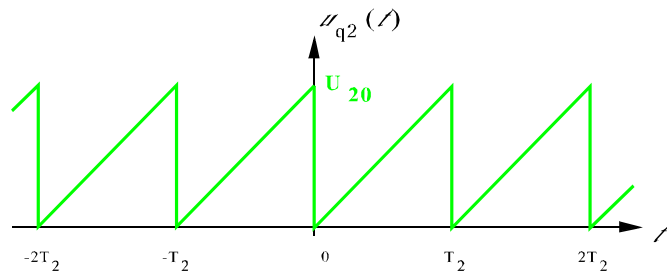
2. Die Übertragung von Informationen durch elektrische Wechselgrößen

2.1 Die Arten von Wechselgrößen

- Zufallsprozesse



- determinierte Signale (nichtsinsusförmig und periodisch)

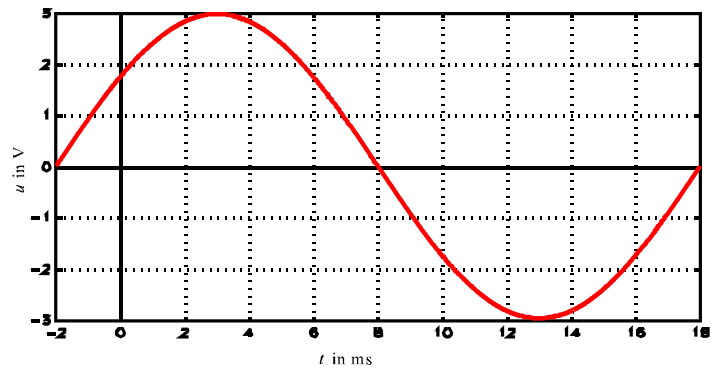


$$x(t) = x(t + nT) \quad n - \text{ganz} \quad T - \text{Periodendauer}$$

$$f = \frac{1}{T} \quad f - \text{Frequenz}$$

$$[f] = \frac{1}{[T]} = 1s^{-1} = 1\text{Hz}$$

- determinierte Signale (sinusförmig)



$$u(t) = \hat{U} \sin(\omega t + \mathbf{j}_u)$$

$$\omega = 2\pi \frac{1}{T} = 2\pi f \quad \text{in } \text{s}^{-1}$$

$$f = \frac{1}{T} \quad \text{in Hz}$$

- Gleichrichtwert

$$\bar{X} = \frac{1}{T} \int_{t_0}^{t_0+T} |x(t)| dt$$

für sinusförmige Wechselgrößen:

$$\bar{X} = \frac{2}{\pi} X$$

- Effektivwert

$$P_{el} = ui = \frac{u^2}{R} = i^2 R$$

$$\bar{P} = \frac{1}{T} \int_{t_0}^{t_0+T} \frac{u^2(t)}{R} dt = \frac{U^2}{R}$$

$$U = \sqrt{\frac{1}{T} \int_{t_0}^{t_0+T} u^2(t) dt}$$

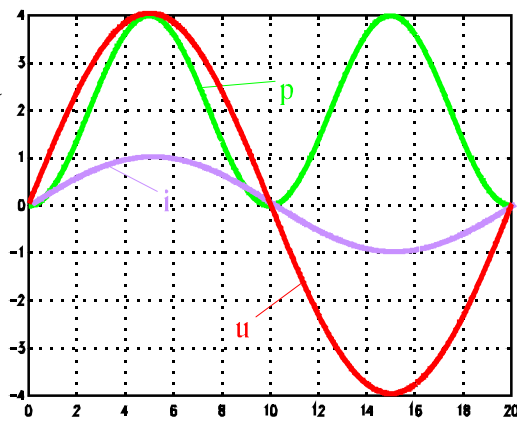
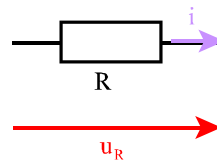
$$X = \sqrt{\frac{1}{T} \int_{t_0}^{t_0+T} x^2(t) dt}$$

für sinusförmige Wechselgrößen:

$$X = \frac{X}{\sqrt{2}}$$

3.3 Die Reaktion der Bauelemente R, L, C auf sinusförmige Erregung

1. Widerstand



$$i = \hat{I} \sin(\omega t + \mathbf{j}_i)$$

$$u_R = R i$$

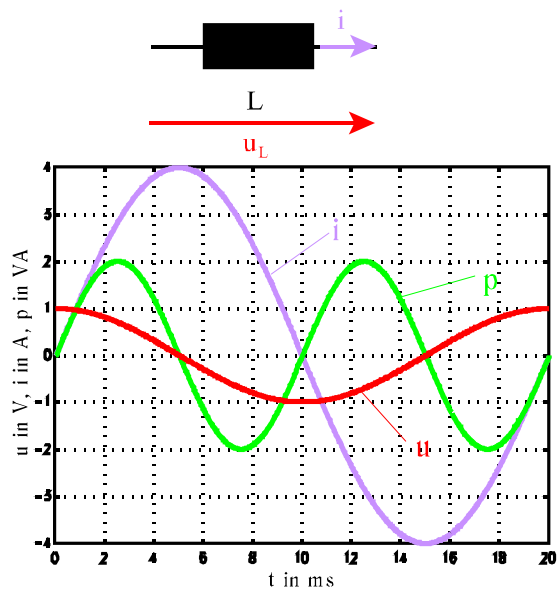
$$u_R = R \hat{I} \sin(\omega t + \mathbf{j}_i) = \hat{U}_R \sin(\omega t + \mathbf{j}_{uR})$$

$$\hat{U}_R = R \hat{I}$$

$$\mathbf{j}_{uR} = \mathbf{j}_i$$

$$\Delta \mathbf{j} = \mathbf{j}_{uR} - \mathbf{j}_i = 0$$

2. Induktivität



$$i = \hat{I} \sin(\omega t + \varphi_i)$$

$$u_L = L \frac{di}{dt}$$

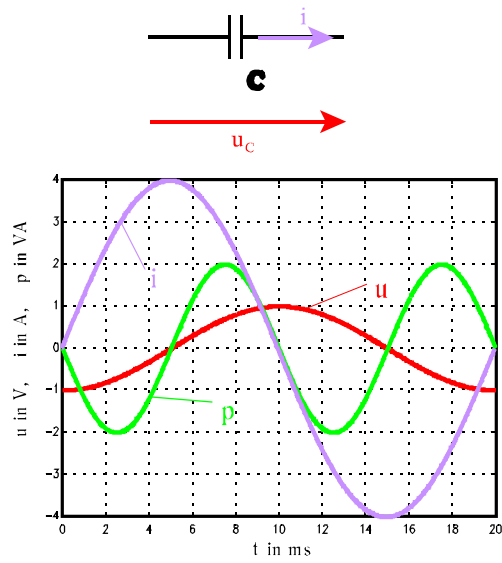
$$u_L = \omega L \hat{I} \cos(\omega t + \varphi_i) = \omega L \hat{I} \sin(\omega t + \varphi_i + \frac{\pi}{2}) = \hat{U}_L \sin(\omega t + \varphi_{uR})$$

$$\hat{U}_L = \omega L \hat{I}$$

$$\varphi_{uR} = \varphi_i + \frac{\pi}{2}$$

$$\Delta \varphi = \varphi_{uR} - \varphi_i = \frac{\pi}{2}$$

3. Kapazität



$$i = \hat{I} \sin(\omega t + j_i)$$

$$u_C = \frac{1}{C} \int i dt$$

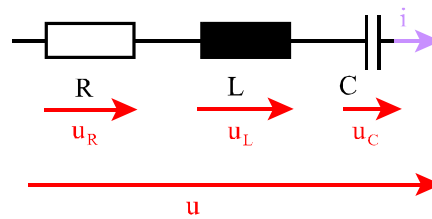
$$u_C = -\frac{1}{\omega C} \hat{I} \cos(\omega t + j_i) = \frac{1}{\omega C} \hat{I} \sin(\omega t + j_i - \frac{\pi}{2}) = \hat{U}_C \sin(\omega t + j_{u_C})$$

$$\hat{U}_C = \frac{1}{\omega C} \hat{I}$$

$$j_{u_C} = j_i - \frac{\pi}{2}$$

$$\Delta j = j_{u_C} - j_i = -\frac{\pi}{2}$$

4. Reihenschaltung von R, L und C



$$u = \hat{U} \sin(\omega t + \mathbf{j}_u)$$

$$u_R = R i$$

$$u_L = L \frac{di}{dt}$$

$$u_C = \frac{1}{C} \int i dt$$

$$i R + L \frac{di}{dt} + \frac{1}{C} \int i dt = \hat{U} \sin(\omega t + \mathbf{j}_u)$$

bekannte Merkmale der Lösung :

1. In linearen Netzen sind bei sinusförmiger Erregung alle stationären Vorgänge gleichfalls sinusförmig.
2. In linearen Netzwerken bleibt die Frequenz erhalten.

noch benötigte Informationen :

1. Amplitude der Lösung
2. Startphase der Lösung

Ansatz :
$$i = \hat{I} \sin(\omega t + \mathbf{j}_i)$$

Ergebnis:

$$i(t) = \frac{\mathcal{U}}{\sqrt{R^2 + \left[\omega L - \frac{1}{\omega C} \right]^2}} \sin(\omega t + \mathbf{j}_i) = \frac{\mathcal{U}}{Z} \sin(\omega t + \mathbf{j}_u - \mathbf{j}_z)$$

mit $Z = \sqrt{R^2 + \left[\omega L - \frac{1}{\omega C} \right]^2}$ Scheinwiderstand (Impedanz)

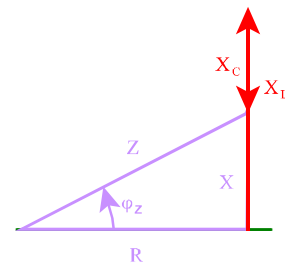
$X = \left[\omega L - \frac{1}{\omega C} \right]$ Blindwiderstand (Reaktanz)

$X_L = \omega L$ induktiver Blindwiderstand

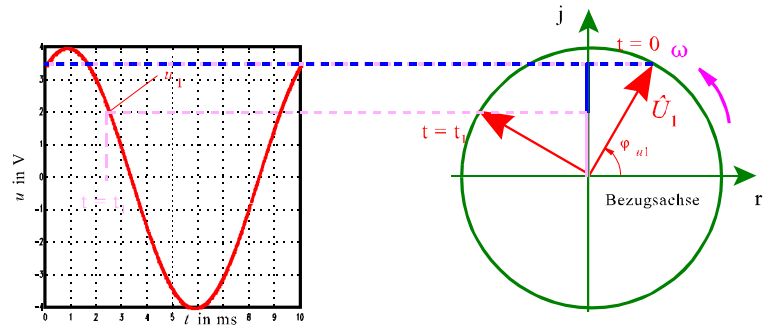
$X_C = -\frac{1}{\omega C}$ kapazitiver Blindwiderstand

$$Z = \sqrt{R^2 + X^2}$$

$$\mathbf{j}_z = \arctan \left[\frac{\omega L - \frac{1}{\omega C}}{R} \right]$$



2.4 Darstellung sinusförmiger Wechselgrößen in der Gaußschen Zahlenebene



$$u_1 = \hat{U}_1 \sin(\omega t + \mathbf{j}_{u1})$$

$$\sqrt{-1} = \mathbf{j}$$

rotierender Zeiger oder komplexer Momentanwert

$$\underline{u}_1 = \operatorname{Re}\{\underline{u}_1\} + \mathbf{j} \operatorname{Im}\{\underline{u}_1\} = \mathcal{U}_1 (\cos(\omega t + \mathbf{j}_{u1}) + \mathbf{j} \sin(\omega t + \mathbf{j}_{u1})) = \mathcal{U}_1 e^{j(\omega t + \mathbf{j}_{u1})}$$

$$u_1 = \hat{U}_1 \sin(\omega t + \mathbf{j}_{u1}) = \operatorname{Im}\{\underline{u}_1\}$$

ruhender Zeiger oder
komplexe Amplitude

$$\underline{\mathcal{U}}_1 = \frac{\mathcal{U}_1 e^{j(\omega t + \mathbf{j}_{u1})}}{e^{j\omega t}} = \mathcal{U}_1 e^{j\mathbf{j}_{u1}}$$

komplexer Effektivwert

$$\underline{U}_1 = \frac{\underline{\mathcal{U}}_1}{\sqrt{2}} = \frac{\mathcal{U}_1}{\sqrt{2}} e^{j\mathbf{j}_{u1}} = U_1 e^{j\mathbf{j}_{u1}}$$

- die Anwendung der komplexen Rechnung zur Berechnung von Wechselstromschaltungen

Rechenregeln im

Zeitbereich	Bildbereich (komplexe Ebene)
Knotensatz $\sum i_{n \text{ vorz}} = 0$	$\sum \text{Im}\{i_{n \text{ vorz}}\} = 0 \rightarrow \sum i_{n \text{ vorz}} = 0 \rightarrow \sum \underline{\mathcal{I}}_{n \text{ vorz}} = 0$
Maschensatz $\sum u_{n \text{ vorz}} = 0$	$\sum \text{Im}\{u_{n \text{ vorz}}\} = 0 \rightarrow \sum u_{n \text{ vorz}} = 0 \rightarrow \sum \underline{\mathcal{U}}_{n \text{ vorz}} = 0$
Widerstand $u_R = R i_R$	$\text{Im}\{u_R\} = R \text{Im}\{i_R\} \rightarrow u_R = R i_R \rightarrow \underline{\mathcal{U}}_R = R \underline{\mathcal{I}}_R$
Induktivität $u_L = L \frac{di_L}{dt}$	$\underline{u}_L = L \frac{d\underline{i}_L}{dt} = L \frac{d \underline{\mathcal{I}} e^{j(\omega t + \varphi_i)}}{dt}$
	$\underline{u}_L = j\omega L \underline{\mathcal{I}} e^{j(\omega t + \varphi_i)} = j\omega L \underline{i}$
	$\underline{u}_L = j\omega L \underline{i} \rightarrow \underline{\mathcal{U}}_L = j\omega L \underline{\mathcal{I}}$
Kapazität $u_C = \frac{1}{C} \int i_C dt$	$\underline{u}_C = \frac{1}{C} \int \underline{i}_C dt = \frac{1}{C} \int \underline{\mathcal{I}} e^{j(\omega t + \varphi_i)} dt$
	$\underline{u}_C = \frac{1}{j\omega C} \int \underline{\mathcal{I}} e^{j(\omega t + \varphi_i)} d(j\omega t) = \frac{1}{j\omega C} \underline{\mathcal{I}} e^{j(\omega t + \varphi_i)}$
	$\underline{u}_C = \frac{1}{j\omega C} \underline{i} \rightarrow \underline{\mathcal{U}}_C = \frac{1}{j\omega C} \underline{\mathcal{I}}$

Zusammenfassung der Rechenregeln im Komplexen:

Knotensatz

$$\sum \underline{I}_{n \text{ vorz}} = 0$$

Maschensatz

$$\sum \underline{U}_{n \text{ vorz}} = 0$$

komplexer Widerstand

$$\underline{U} = \underline{Z} \underline{I}$$

mit

$$\underline{Z}_R = R$$

$$\underline{Z}_L = j\omega L$$

$$\underline{Z}_C = \frac{1}{j\omega C}$$

komplexer Leitwert

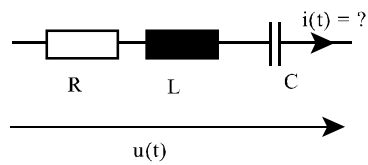
$$\underline{I} = \underline{Y} \underline{U}$$

mit

$$\underline{Y} = \frac{1}{\underline{Z}}$$

Anwendungsbeispiel:

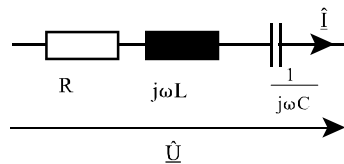
Aufgabe:



$$u(t) = \mathcal{U} \sin(\omega t + \varphi_U)$$

Lösung:

1. Transformation ins Komplexe



$$\hat{\mathcal{U}} = \mathcal{U} e^{j\varphi_U}$$

2. Ermittlung der Lösung im Komplexen

$$\hat{\mathcal{I}} = \frac{\hat{\mathcal{U}}}{Z_{ges}} = \frac{\hat{\mathcal{U}}}{R + j\omega L + \frac{1}{j\omega C}} = \frac{\mathcal{U} e^{j\varphi_U}}{R + j\omega L + \frac{1}{j\omega C}}$$

3. Berechnung der Exponentialform der Lösung

$$\hat{\mathcal{I}} = \frac{\mathcal{U} e^{j\varphi_U}}{R + j\left(\omega L - \frac{1}{\omega C}\right)} = \frac{\mathcal{U} e^{j\varphi_U}}{\sqrt{R^2 + \left(\omega L - \frac{1}{\omega C}\right)^2} e^{j\varphi_Z}}$$

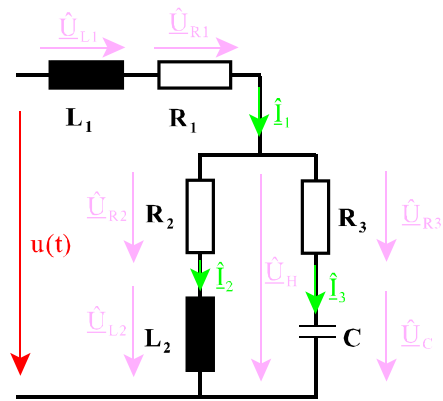
$$\varphi_Z = \arctan\left(\frac{\omega L - \frac{1}{\omega C}}{R}\right)$$

4. Rücktransformation in den Zeitbereich

$$i(t) = \frac{\mathcal{U}}{\sqrt{R^2 + \left(\omega L - \frac{1}{\omega C}\right)^2}} \sin(\omega t + \varphi_U - \varphi_Z)$$

- Grafische Methoden der Wechselstromtechnik
Das topologische Zeigerdiagramm

Beispiel



$$u(t) = \hat{U} \sin(\omega t + \varphi_u) \quad \underline{\hat{U}} = \hat{U} e^{j\varphi_u}$$

Ansatz: $i_3(t) = \hat{I}_3 \sin \omega t \quad \underline{\hat{I}}_3 = \hat{I}_3$

$$\underline{\hat{U}}_{R3} = R_3 \underline{\hat{I}}_3$$

$$\underline{\hat{U}}_C = 1/j\omega C \underline{\hat{I}}_3$$

$$\underline{\hat{U}}_H = \underline{\hat{U}}_{R3} + \underline{\hat{U}}_C$$

$$\varphi_{I2} = \varphi_{UH} - \arctan(\omega L_2/R_2)$$

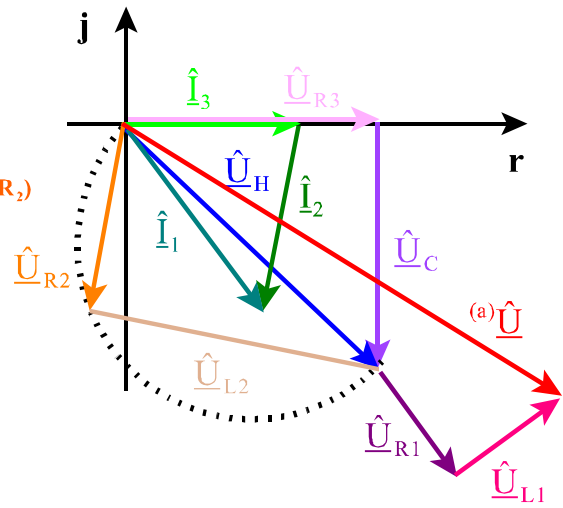
$$\underline{\hat{I}}_2 = \underline{\hat{U}}_{R2}/R_2$$

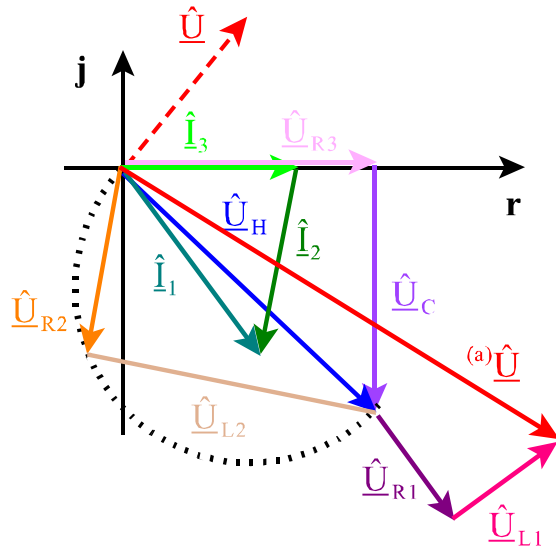
$$\underline{\hat{I}}_1 = \underline{\hat{I}}_2 + \underline{\hat{I}}_3$$

$$\underline{\hat{U}}_{R1} = R_1 \underline{\hat{I}}_1$$

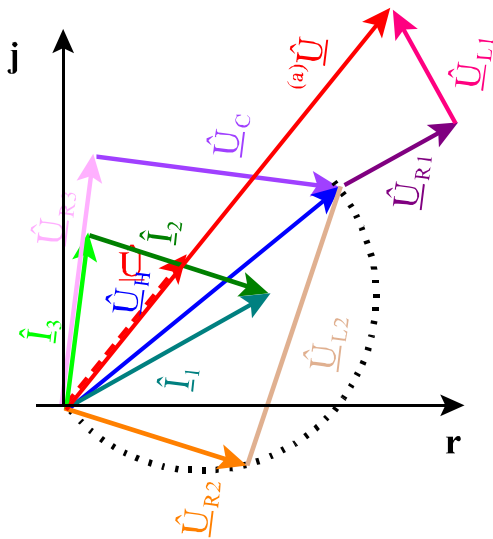
$$\underline{\hat{U}}_{L1} = j\omega L_1 \underline{\hat{I}}_1$$

$$^{(a)}\underline{\hat{U}} = \underline{\hat{U}}_H + \underline{\hat{U}}_{R1} + \underline{\hat{U}}_{L1}$$

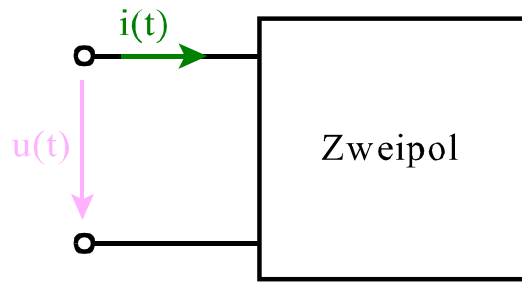




$$\frac{\underline{\mathcal{X}}}{\underline{\mathcal{X}}^{(a)}} = \frac{\underline{\mathcal{U}}}{\underline{\mathcal{U}}^{(a)}} \quad \underline{\mathcal{X}} = \frac{\underline{\mathcal{U}}}{\underline{\mathcal{U}}^{(a)}} \underline{\mathcal{X}}^{(a)} = \begin{bmatrix} \underline{\mathcal{U}} \\ \underline{\mathcal{U}}^{(a)} \end{bmatrix} e^{j(j_v - {}^{(a)}j_v)} \underline{\mathcal{X}}^{(a)}$$



- Die Leistung in der Wechselstromtechnik
Die Leistung im Zeitbereich



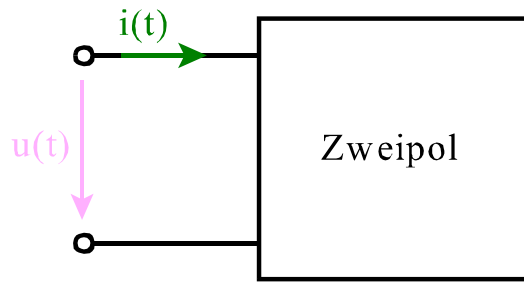
$$u(t) = U \sin \omega t$$

$$i(t) = I \sin(\omega t - \varphi_{U,I})$$

$$p(t) = u(t)i(t) = U \sin \omega t I \sin(\omega t - \varphi_{U,I})$$

$$p(t) = UI \sin \omega t (\sin \omega t \cos \varphi_{U,I} - \cos \omega t \sin \varphi_{U,I})$$

$$p(t) = UI (\sin^2 \omega t \cos \varphi_{U,I} - \sin \omega t \cos \omega t \sin \varphi_{U,I})$$



$$p(t) = \cancel{UI} \left(\sin^2 \omega t \cos \mathbf{j}_{U,I} - \sin \omega t \cos \omega t \sin \mathbf{j}_{U,I} \right)$$

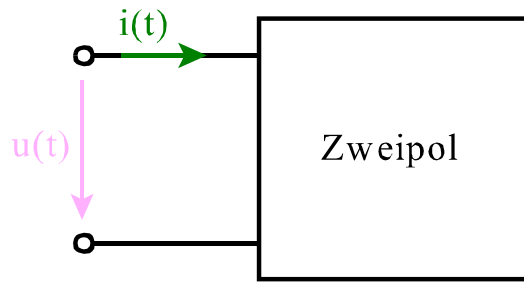
$$\sin^2 \omega t = \frac{1}{2} (1 - \cos 2\omega t)$$

$$\sin \omega t \cos \omega t = \frac{1}{2} \sin 2\omega t$$

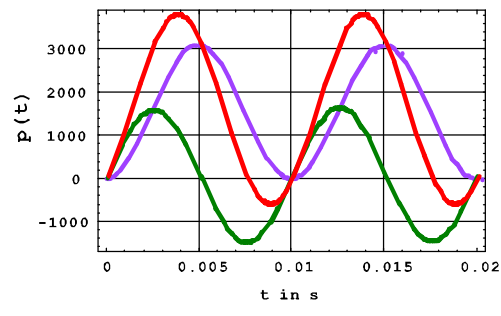
$$p(t) = \frac{\cancel{UI}}{2} \left(\cos \mathbf{j}_{U,I} (1 - \cos 2\omega t) - \sin \mathbf{j}_{U,I} \sin 2\omega t \right)$$

$$p(t) = \frac{\cancel{UI}}{\sqrt{2}\sqrt{2}} \left(\cos \mathbf{j}_{U,I} (1 - \cos 2\omega t) - \sin \mathbf{j}_{U,I} \sin 2\omega t \right)$$

$$p(t) = UI \cos \mathbf{j}_{U,I} (1 - \cos 2\omega t) - UI \sin \mathbf{j}_{U,I} \sin 2\omega t$$



$$p(t) = UI \cos \mathbf{j}_{U,I} (1 - \cos 2\omega t) - UI \sin \mathbf{j}_{U,I} \sin 2\omega t$$



$$P = \bar{P} = UI \cos \mathbf{j}_{U,I} \quad \text{Wirkleistung [W]}$$

$$Q = UI \sin \mathbf{j}_{U,I} \quad \text{Blindleistung [var]}$$

$$S = UI \quad \text{Scheinleistung [VA]}$$

$$\cos \mathbf{j}_{U,I} \quad \text{Leistungsfaktor}$$

$$P = UI \cos \mathbf{j}_{U,I}$$

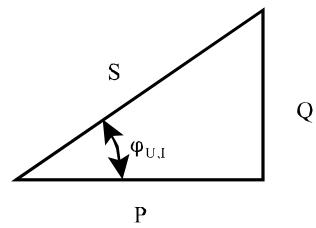
$$Q = UI \sin \mathbf{j}_{U,I}$$

$$S = UI$$

$$S = \sqrt{P^2 + Q^2}$$

$$\tan \mathbf{j}_{U,I} = \frac{Q}{P}$$

Das Leistungsdreieck



Die Leistung im Bildbereich

Ansatz :

$$\underline{u} = U \mathcal{S} e^{j(\omega t + \varphi_u)}$$

$$\underline{i} = I \mathcal{S} e^{j(\omega t + \varphi_i)}$$

$$\underline{p} = \underline{u} \underline{i} = U \mathcal{S} e^{j(\omega t + \varphi_u)} I \mathcal{S} e^{j(\omega t + \varphi_i)}$$

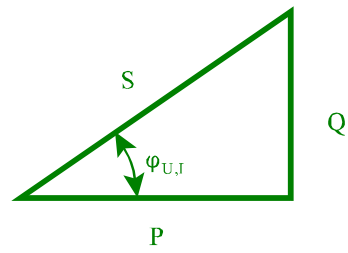
$$\underline{p} = U I \mathcal{S} e^{j(2\omega t + \varphi_u + \varphi_i)}$$

wirklicher Leistungsumsatz im Zeitbereich :

$$p(t) = UI \cos \varphi_{u,i} (1 - \cos 2\omega t) - UI \sin \varphi_{u,i} \sin 2\omega t$$

~~$$p(t) = \text{Im}\{\underline{p}\} = U I \mathcal{S} \sin(2\omega t + \varphi_u + \varphi_i)$$~~

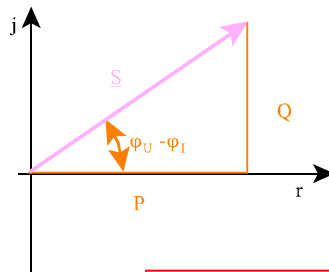
Nachbildung des Leistungsdreiecks im Komplexen:



$$S = UI$$

$$P = UI \cos \mathbf{j}_{U,I} = UI \cos(\mathbf{j}_U - \mathbf{j}_I)$$

$$Q = UI \sin \mathbf{j}_{U,I} = UI \sin(\mathbf{j}_U - \mathbf{j}_I)$$



$$\underline{U} = U e^{j\mathbf{j}_U}$$

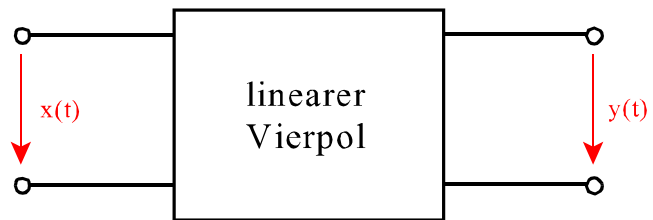
$$\underline{I} = I e^{j\mathbf{j}_I}$$

$$\underline{S} = \underline{U} \underline{I}^* = U e^{j\mathbf{j}_U} I e^{-j\mathbf{j}_I} = UI e^{j(\mathbf{j}_U - \mathbf{j}_I)}$$

$$P = UI \cos(\mathbf{j}_U - \mathbf{j}_I) = \text{Re}\{\underline{S}\}$$

$$Q = UI \sin(\mathbf{j}_U - \mathbf{j}_I) = \text{Im}\{\underline{S}\}$$

2.5 Frequenzkennlinien und Übertragungsverhalten linearer Wechselstromschaltungen



Zeitbereich:

$$y(t) = f(x(t))$$

Bildbereich (komplexe Ebene):

$$\underline{Y}(j\omega) = \underline{H}(j\omega) \underline{X}(j\omega)$$

Übertragungsfunktion:

$$\underline{H}(j\omega) = \frac{\underline{Y}(j\omega)}{\underline{X}(j\omega)}$$

$$\underline{Y}(j\omega) = \underline{H}(j\omega) \underline{X}(j\omega)$$

$$\underline{Y}(j\omega) = \underline{H}(j\omega) \underline{X}(j\omega)$$

$$\underline{Y}(\omega) e^{j\phi_y(\omega)} = H(\omega) e^{j\phi_H(\omega)} \underline{X}(\omega) e^{j\phi_x(\omega)}$$

Amplitudenübertragung:

$$|Y(\omega)| = |H(\omega)| |X(\omega)|$$



Amplitudenfrequenzgang des Systems

Phasenübertragung:

$$\phi_y(\omega) = \phi_H(\omega) + \phi_x(\omega)$$



Phasenfrequenzgang des Systems

Amplitudenübertragung:

$$\mathbf{Y}(w) = H(w) \mathbf{X}(w)$$

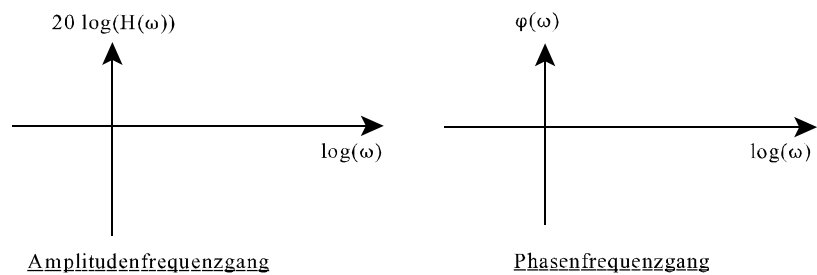
Phasenübertragung:

$$\mathbf{j}_y(w) = \mathbf{j}_H(w) + \mathbf{j}_x(w)$$

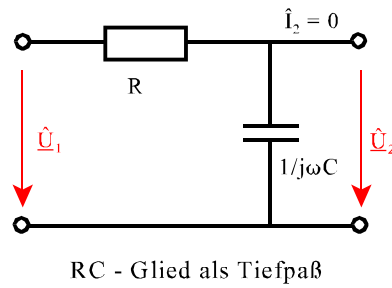
$$\log(\mathbf{Y}(w)) = \log(H(w)) + \log(\mathbf{X}(w))$$

$$20\log(\mathbf{Y}(w)) = 20\log(H(w)) + 20\log(\mathbf{X}(w)) \quad \text{in dB}$$

- übliche grafische Darstellung:



Beispiel:



$$\underline{U}_1 = R\underline{I} + \frac{1}{j\omega C} \underline{I}$$

$$\underline{U}_2 = \frac{1}{j\omega C} \underline{I}$$

$$\underline{U}_1 = R\underline{I} + \frac{1}{j\omega C} \underline{I} = \left(R + \frac{1}{j\omega C}\right) \underline{I}$$

$$\underline{U}_2 = \frac{1}{j\omega C} \underline{I} = \frac{1}{j\omega C} \frac{\underline{U}_1}{R + \frac{1}{j\omega C}}$$

$$\underline{H}(j\omega) = \frac{\underline{U}_2(j\omega)}{\underline{U}_1(j\omega)} = \frac{\frac{1}{j\omega C}}{R + \frac{1}{j\omega C}}$$

$$\underline{H}(j\omega) = \frac{\underline{U}_2(j\omega)}{\underline{U}_1(j\omega)} = \frac{1}{R + \frac{1}{j\omega C}}$$

$$\underline{H}(j\omega) = \frac{\underline{U}_2(j\omega)}{\underline{U}_1(j\omega)} = \frac{1}{1 + j\omega CR}$$

Amplitudenfrequenzgang:

$$H(\omega) = \frac{U_2(\omega)}{U_1(\omega)} = \frac{1}{\sqrt{1 + (\omega CR)^2}}$$

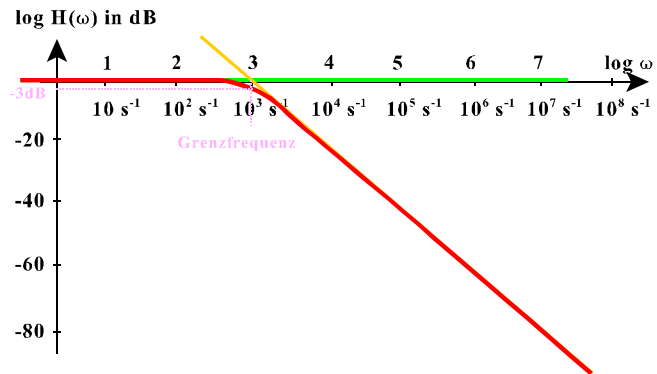
Phasenfrequenzgang:

$$j_H(\omega) = j_{u_2}(\omega) - j_{u_1}(\omega) = -\arctan \omega CR$$

$$H(\omega) = \frac{1}{\sqrt{1 + (\omega CR)^2}}$$

$$\frac{\omega}{\omega_0} \ll 1 \quad 20 \log[H(\omega)] \approx 0$$

$$\frac{\omega}{\omega_0} \gg 1 \quad 20 \log[H(\omega)] \approx -20 \log \omega + 20 \log \omega_0$$



$$\mathbf{j}_H(\omega) = -\arctan\left(\frac{\omega}{\omega_0}\right) \quad \text{mit} \quad \omega_0 = \frac{1}{CR}$$

